

Starkniederschlagshöhen und -spenden gemäß KOSTRA-DWD-2010R

Auswertungszeitraum von 1951 - 2010, Januar - Dezember

Rasterfeld: 85040

Zeile: 85

Spalte: 40

Seite: 1/2

| Dauerstufe D | Wiederkehrzeit T | | | | | | | | | | | | | | | | | | |
|--------------|------------------|------|------------|------|------------|------|------------|------|------------|------|------------|------|------------|------|------------|-------|------------|-------|------------|
| | 1 a | | 2 a | | 3 a | | 5 a | | 10 a | | 20 a | | 30 a | | 50 a | | 100 a | | |
| min | Std | mm | l / (s ha) | mm | l / (s ha) | mm | l / (s ha) | mm | l / (s ha) | mm | l / (s ha) | mm | l / (s ha) | mm | l / (s ha) | mm | l / (s ha) | mm | l / (s ha) |
| 5 | | 5,8 | 193,3 | 7,2 | 240,0 | 8,0 | 266,7 | 9,0 | 300,0 | 10,4 | 346,7 | 11,8 | 393,3 | 12,6 | 420,0 | 13,6 | 453,3 | 15,0 | 500,0 |
| 10 | | 9,2 | 153,3 | 11,3 | 188,3 | 12,5 | 208,3 | 14,1 | 235,0 | 16,2 | 270,0 | 18,3 | 305,0 | 19,5 | 325,0 | 21,1 | 351,7 | 23,2 | 386,7 |
| 15 | | 11,4 | 126,7 | 14,1 | 156,7 | 15,7 | 174,4 | 17,7 | 196,7 | 20,4 | 226,7 | 23,0 | 255,6 | 24,6 | 273,3 | 26,6 | 295,6 | 29,3 | 325,6 |
| 20 | | 13,0 | 108,3 | 16,2 | 135,0 | 18,0 | 150,0 | 20,4 | 170,0 | 23,6 | 196,7 | 26,8 | 223,3 | 28,7 | 239,2 | 31,1 | 259,2 | 34,3 | 285,8 |
| 30 | | 15,0 | 83,3 | 19,1 | 106,1 | 21,5 | 119,4 | 24,5 | 136,1 | 28,6 | 158,9 | 32,7 | 181,7 | 35,1 | 195,0 | 38,1 | 211,7 | 42,2 | 234,4 |
| 45 | | 16,8 | 62,2 | 22,1 | 81,9 | 25,1 | 93,0 | 29,0 | 107,4 | 34,2 | 126,7 | 39,4 | 145,9 | 42,5 | 157,4 | 46,3 | 171,5 | 51,6 | 191,1 |
| 60 | | 17,9 | 49,7 | 24,1 | 66,9 | 27,8 | 77,2 | 32,3 | 89,7 | 38,6 | 107,2 | 44,8 | 124,4 | 48,4 | 134,4 | 53,0 | 147,2 | 59,2 | 164,4 |
| 90 | | 19,6 | 36,3 | 26,0 | 48,1 | 29,8 | 55,2 | 34,5 | 63,9 | 40,8 | 75,6 | 47,2 | 87,4 | 51,0 | 94,4 | 55,7 | 103,1 | 62,0 | 114,8 |
| 120 | 2 | 21,0 | 29,2 | 27,5 | 38,2 | 31,3 | 43,5 | 36,1 | 50,1 | 42,6 | 59,2 | 49,1 | 68,2 | 52,9 | 73,5 | 57,7 | 80,1 | 64,2 | 89,2 |
| 180 | 3 | 23,0 | 21,3 | 29,7 | 27,5 | 33,6 | 31,1 | 38,5 | 35,6 | 45,2 | 41,9 | 51,9 | 48,1 | 55,8 | 51,7 | 60,7 | 56,2 | 67,4 | 62,4 |
| 240 | 4 | 24,6 | 17,1 | 31,4 | 21,8 | 35,4 | 24,6 | 40,4 | 28,1 | 47,2 | 32,8 | 54,0 | 37,5 | 58,0 | 40,3 | 63,0 | 43,8 | 69,8 | 48,5 |
| 360 | 6 | 27,0 | 12,5 | 33,9 | 15,7 | 38,0 | 17,6 | 43,2 | 20,0 | 50,2 | 23,2 | 57,1 | 26,4 | 61,2 | 28,3 | 66,4 | 30,7 | 73,4 | 34,0 |
| 540 | 9 | 29,6 | 9,1 | 36,7 | 11,3 | 40,9 | 12,6 | 46,2 | 14,3 | 53,4 | 16,5 | 60,6 | 18,7 | 64,8 | 20,0 | 70,1 | 21,6 | 77,2 | 23,8 |
| 720 | 12 | 31,6 | 7,3 | 38,9 | 9,0 | 43,2 | 10,0 | 48,6 | 11,3 | 55,9 | 12,9 | 63,2 | 14,6 | 67,4 | 15,6 | 72,8 | 16,9 | 80,1 | 18,5 |
| 1080 | 18 | 34,6 | 5,3 | 42,2 | 6,5 | 46,5 | 7,2 | 52,1 | 8,0 | 59,6 | 9,2 | 67,1 | 10,4 | 71,5 | 11,0 | 77,0 | 11,9 | 84,5 | 13,0 |
| 1440 | 24 | 37,0 | 4,3 | 44,6 | 5,2 | 49,1 | 5,7 | 54,8 | 6,3 | 62,4 | 7,2 | 70,0 | 8,1 | 74,5 | 8,6 | 80,2 | 9,3 | 87,8 | 10,2 |
| 2880 | 48 | 46,3 | 2,7 | 55,2 | 3,2 | 60,4 | 3,5 | 66,9 | 3,9 | 75,8 | 4,4 | 84,7 | 4,9 | 89,9 | 5,2 | 96,4 | 5,6 | 105,3 | 6,1 |
| 4320 | 72 | 52,8 | 2,0 | 62,4 | 2,4 | 68,0 | 2,6 | 75,1 | 2,9 | 84,7 | 3,3 | 94,3 | 3,6 | 99,9 | 3,9 | 107,0 | 4,1 | 116,6 | 4,5 |

Angaben in mm: Bemessungsniederschlagswerte h(n)

Angaben in l / (s ha): Regenspende R(n) mit $R(n) = h(n) \times 1,666667 / D[\text{min}]$

Toleranzbereiche:

+/- 10 % für $1 \text{ a} \leq T \leq 5 \text{ a}$

+/- 15 % für $5 \text{ a} < T \leq 50 \text{ a}$

+/- 20 % für $50 \text{ a} < T \leq 100 \text{ a}$

Datenbasis: KOSTRA-DWD-2010R des Deutschen Wetterdienstes. Die Regenspende wurde auf Basis des Bemessungsniederschlags zur jeweiligen Andauer berechnet.

Für die Richtigkeit und Aktualität der Angaben wird keine Gewähr übernommen. Erstellt 07/2022.

Starkniederschlagshöhen und -spenden gemäß KOSTRA-DWD-2010R

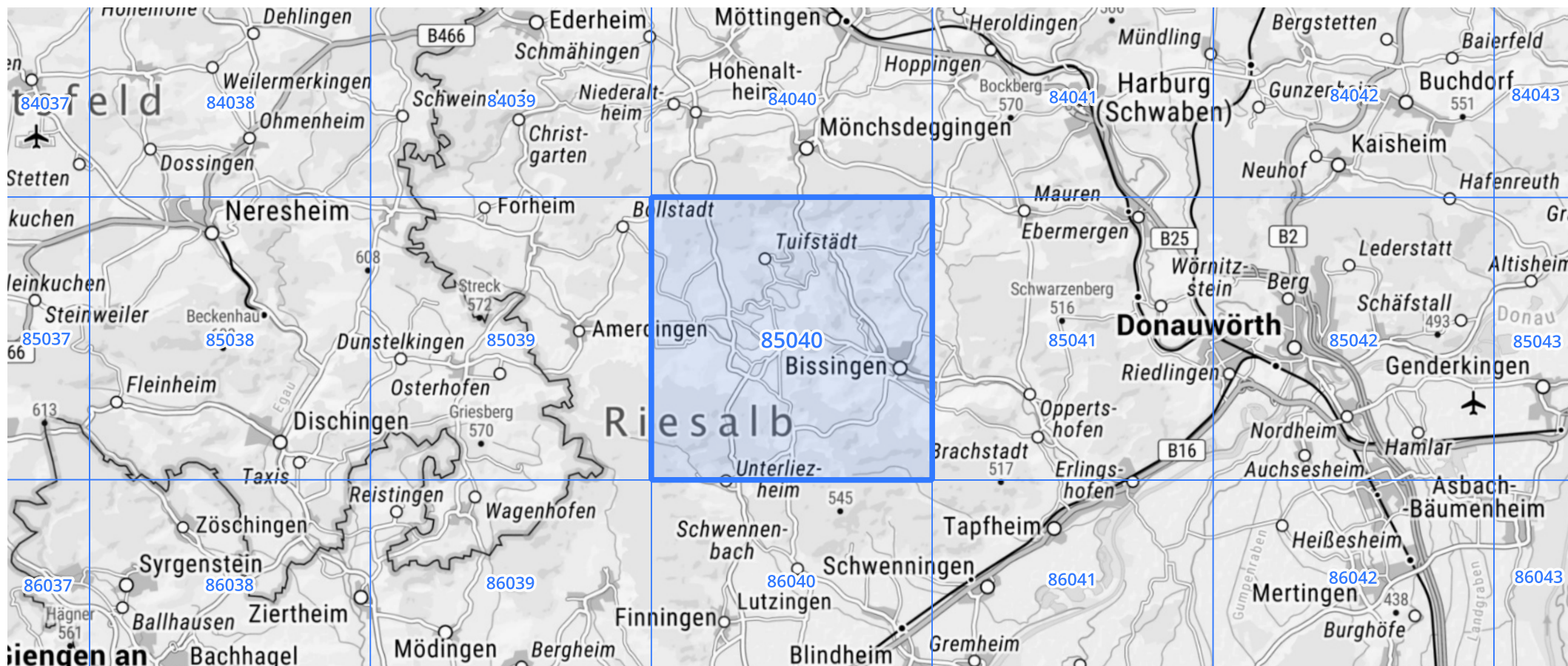
Auswertungszeitraum von 1951 - 2010, Januar - Dezember

Rasterfeld: 85040

Zeile: 85

Spalte: 40

Seite: 2/2



Quelle Rasterdaten: KOSTRA-DWD-2010R des Deutschen Wetterdienstes.

Kartendarstellung: © Bundesamt für Kartographie und Geodäsie (2022), Datenquellen: https://sgx.geodatenzentrum.de/web_public/gdz/datenquellen/Datenquellen_TopPlusOpen.html

Für die Richtigkeit und Aktualität der Angaben wird keine Gewähr übernommen. Erstellt 07/2022.